

Równania stanu modelu:

$$\frac{dx_1(t)}{dt} = -\frac{T_1 + T_2}{T_1 T_2} x_1(t) + x_2(t)$$

$$\frac{dx_2(t)}{dt} = -\frac{1}{T_1 T_2} x_1(t) + \frac{K}{T_1 T_2} (\alpha_1 u(t) + \alpha_2 u^2(t) + \alpha_3 u^3(t) + \alpha_4 u^4(t))$$

$$y(t) = x_1(t)$$

Stałe:

$K = 5$, $T_1 = 10$, $T_2 = 6$, $\alpha_1 = -0.9$, $\alpha_2 = 1.37$, $\alpha_3 = -1.95$, $\alpha_4 = 0.05$.

Sygnał sterujący spełnia warunek: $-1 \leq u \leq 1$

1. Reprezentacja graficzna w pliku: [dynamiczny_ciagly.slx](#)
2. Aby otrzymać model dyskretny w pierwszej kolejności należy podstawić do równań za t chwilę $k-1$, a za pochodną zastąpić różnicą między próbkami przez okres, otrzymujemy wtedy:

$$\frac{x_1(k) - x_1(k-1)}{T} = -\frac{T_1 + T_2}{T_1 T_2} x_1(k-1) + x_2(k-1)$$

$$\frac{x_2(k) - x_2(k-1)}{T}$$

$$= -\frac{1}{T_1 T_2} x_1(k-1) + \frac{K}{T_1 T_2} (\alpha_1 u(k-1) + \alpha_2 u^2(k-1) + \alpha_3 u^3(k-1) + \alpha_4 u^4(k-1))$$

$$y(k-1) = x_1(k-1)$$

Co po przekształceniu daje nam:

$$x_1(k) = x_1(k-1) - T \left(\frac{T_1 + T_2}{T_1 T_2} x_1(k-1) + x_2(k-1) \right)$$

$$x_2(k) = x_2(k-1) - T \left(\frac{1}{T_1 T_2} x_1(k-1) \right)$$

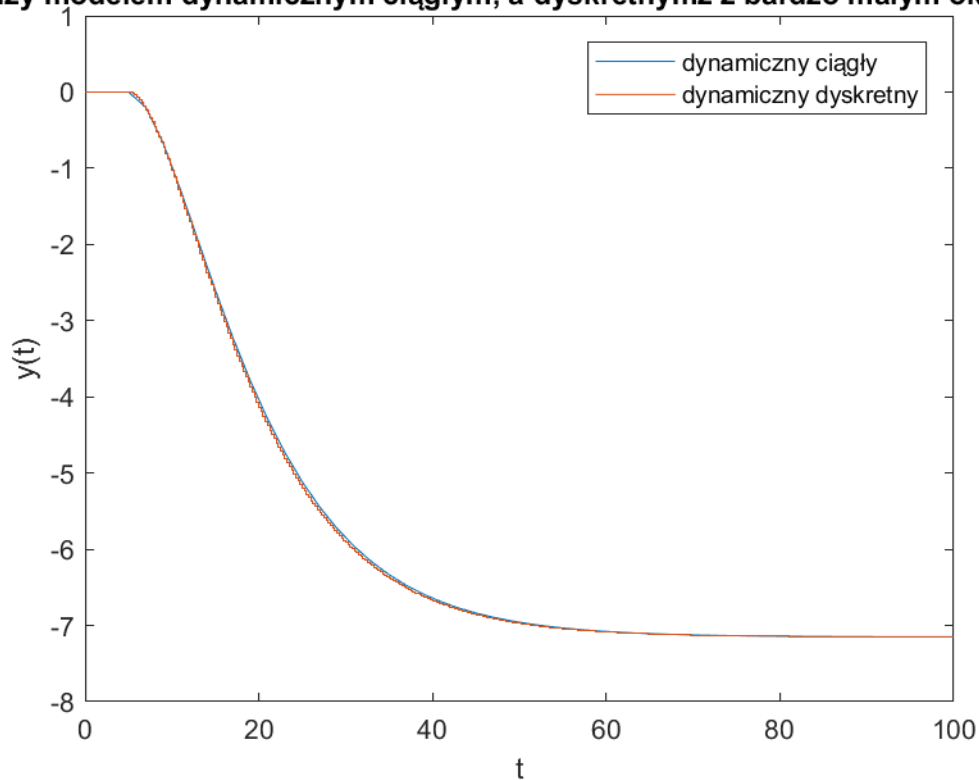
$$+ \frac{K}{T_1 T_2} (\alpha_1 u(k-1) + \alpha_2 u^2(k-1) + \alpha_3 u^3(k-1) + \alpha_4 u^4(k-1))$$

$$y(k-1) = x_1(k-1)$$

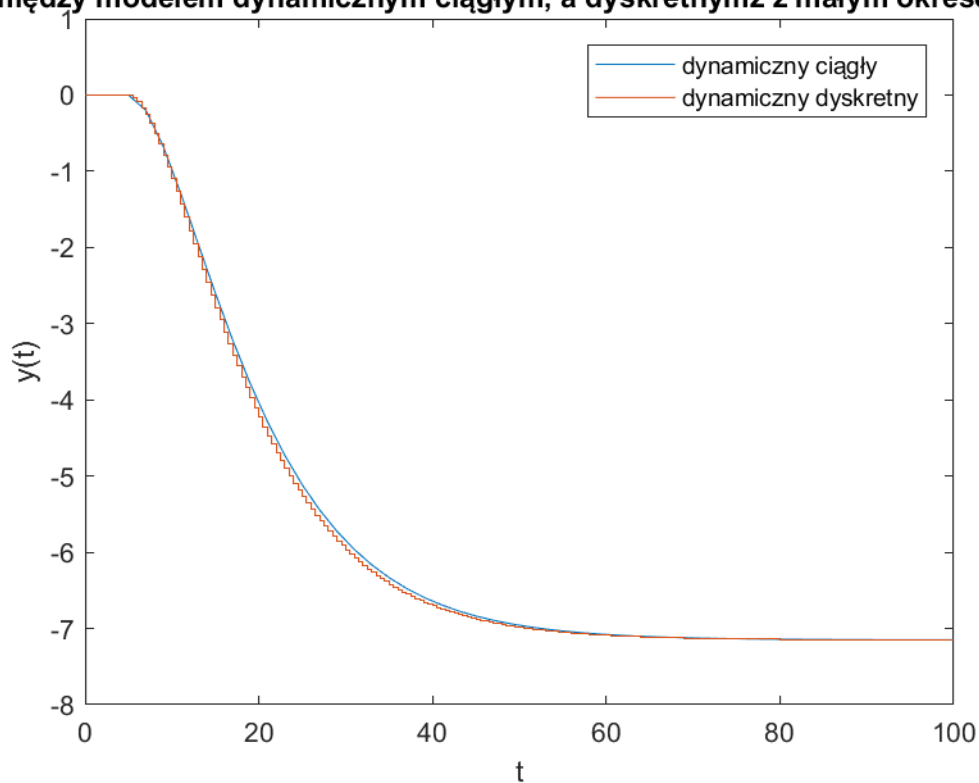
Schemat tych równań został narysowany w pliku: [dynamiczny_dyskretny.slx](#)

3. Układ podlegał symulacji dla wartości początkowej $= 0$, która przybierała wartość $= 1$, w chwili $t = 5$. Okresy próbkowania wynosiły kolejno: 0.1s, 0.5s, 1s, 2s, 4s.

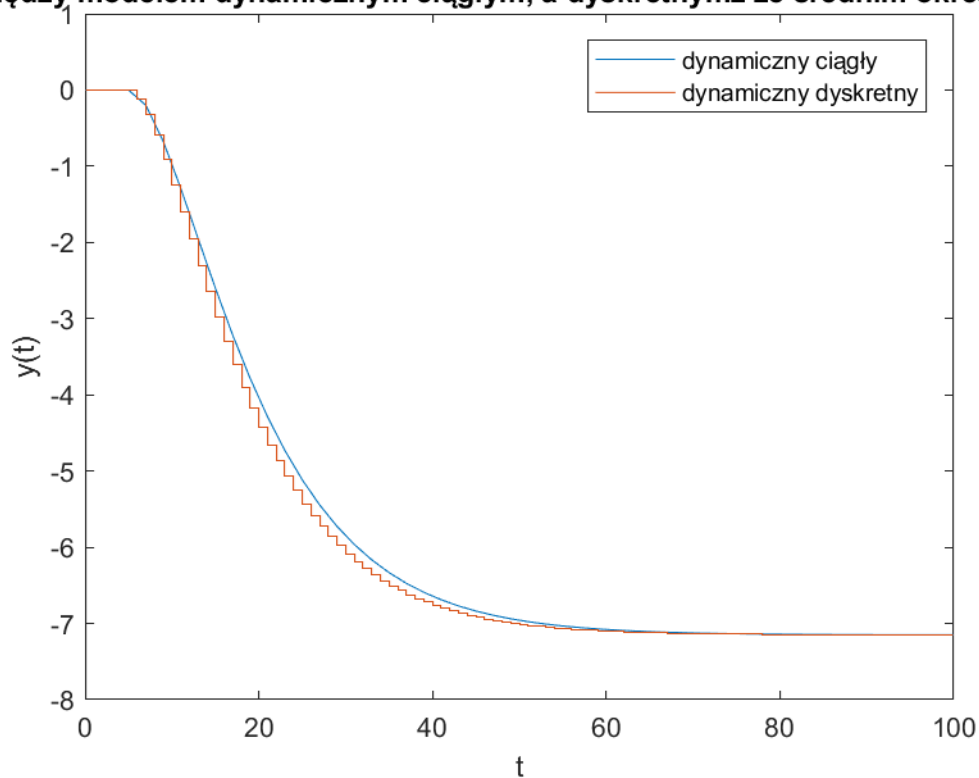
między modelem dynamicznym ciągłym, a dyskretnym z bardzo małym okresem



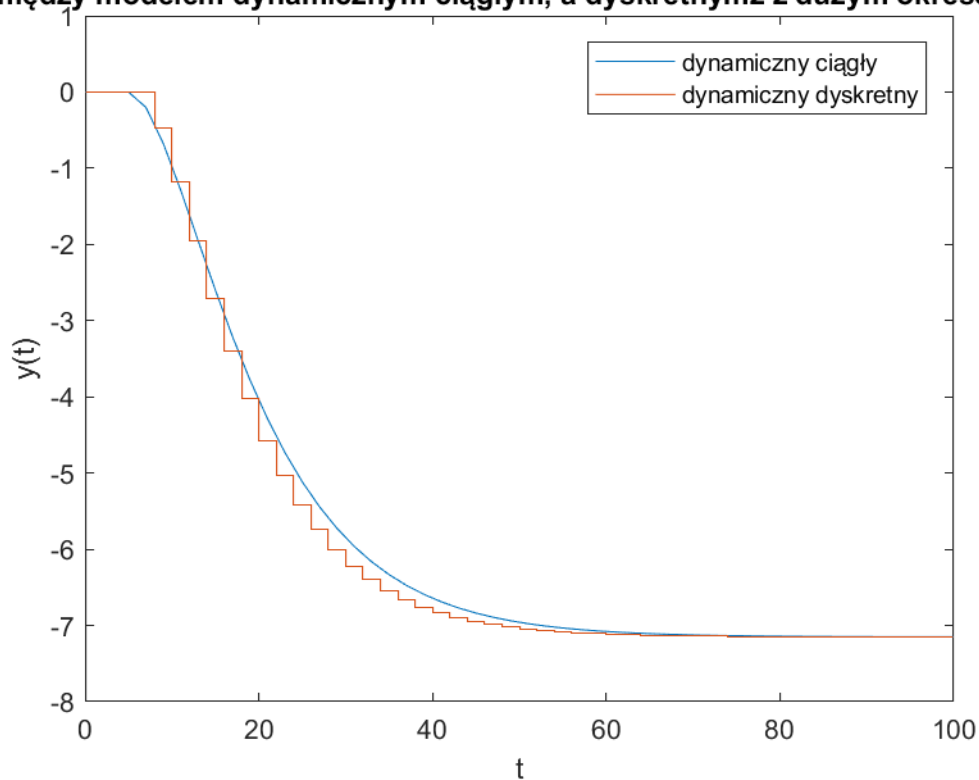
między modelem dynamicznym ciągłym, a dyskretnym z małym okresem próbkowania



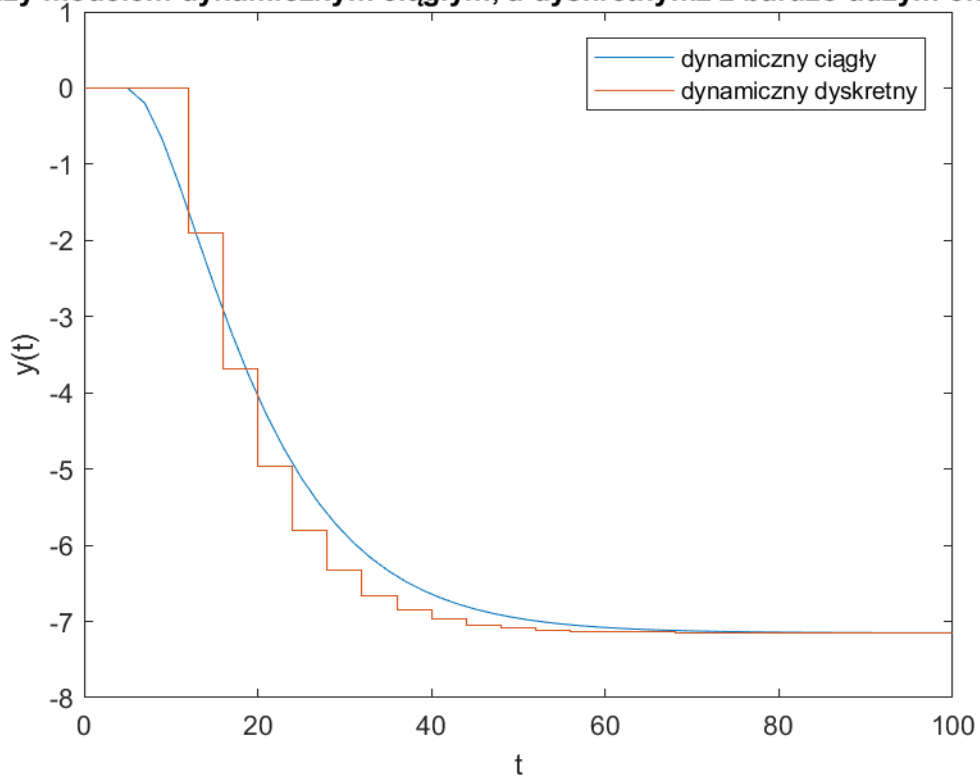
porównanie modelu dynamicznego ciągłego, a dyskretnym z średnim okresem próbkowania



porównanie modelu dynamicznego ciągłego, a dyskretnym z dużym okresem próbkowania



między modelem dynamicznym ciągłym, a dyskretnym z bardzo dużym okresem



4. Wzór charakterystyki statycznej został wyznaczony przez przyrównanie $\frac{x_x(k) - x_x(k-1)}{T}$ do 0 i usunięcie zależności od opóźnienia:

$$0 = -\frac{T_1 + T_2}{T_1 T_2} x_1 + x_2$$

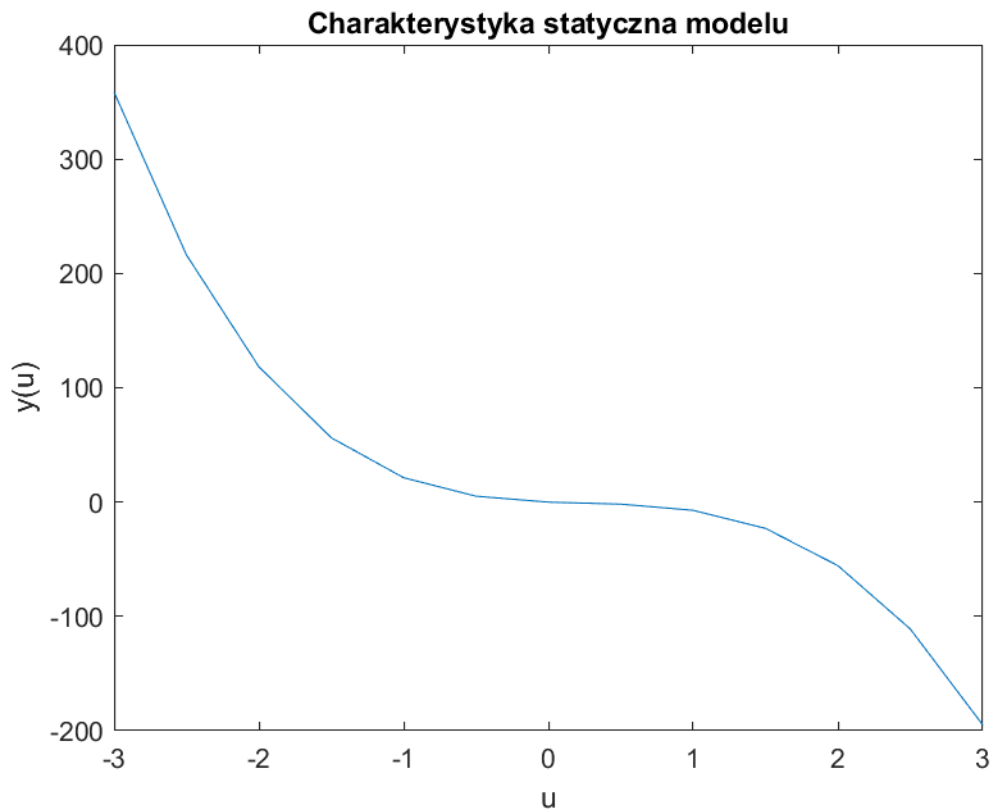
$$0 = -\frac{1}{T_1 T_2} x_1 + \frac{K}{T_1 T_2} (\alpha_1 u + \alpha_2 u^2 + \alpha_3 u^3 + \alpha_4 u^4)$$

$$y = x_1$$

Po przekształceniu otrzymujemy:

$$y = K(\alpha_1 u + \alpha_2 u^2 + \alpha_3 u^3 + \alpha_4 u^4)$$

Wykres charakterystyki statycznej prezentuje się następująco:



5. Charakterystykę statyczną zlinearyzowaną wyznaczyłem podstawiając za elementy nieliniowe ich zlinearyzowane odpowiedniki:

$$u^2 \approx \bar{u}^2 + 2\bar{u}(u - \bar{u})$$

$$u^3 \approx \bar{u}^3 + 3\bar{u}^2(u - \bar{u})$$

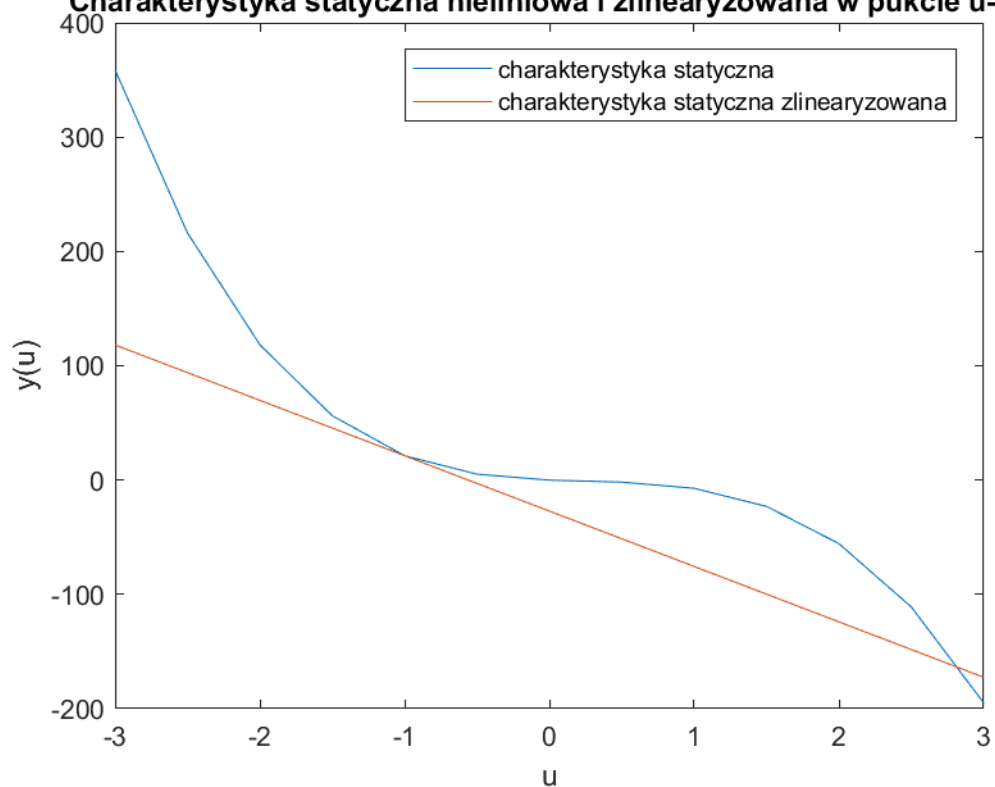
$$u^4 \approx \bar{u}^4 + 4\bar{u}^3(u - \bar{u})$$

Po tych operacjach otrzymałem:

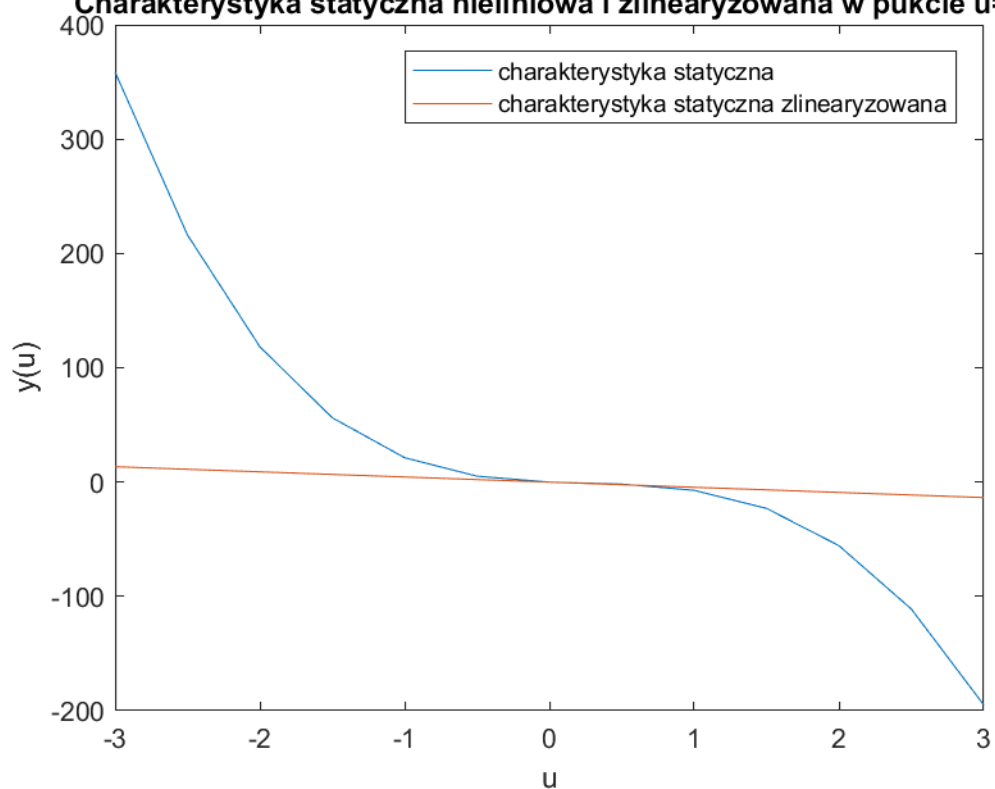
$$y = K(\alpha_1 u + \alpha_2(\bar{u}^2 + 2\bar{u}(u - \bar{u})) + \alpha_3(\bar{u}^3 + 3\bar{u}^2(u - \bar{u})) + \alpha_4(\bar{u}^4 + 4\bar{u}^3(u - \bar{u})))$$

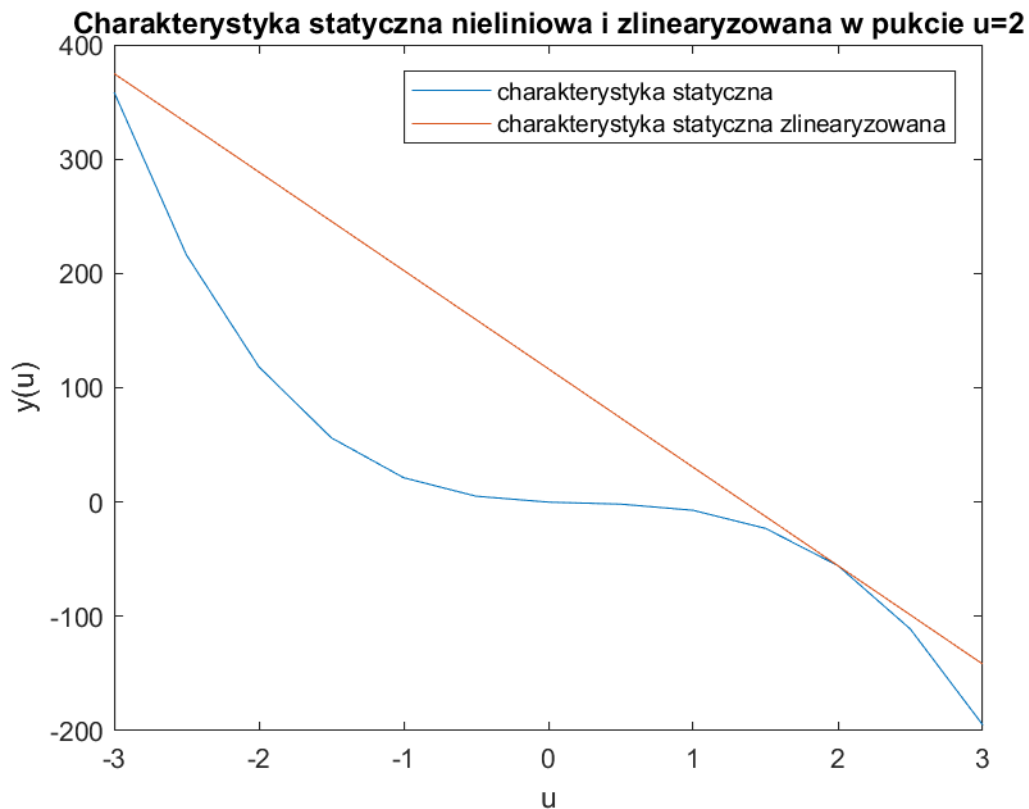
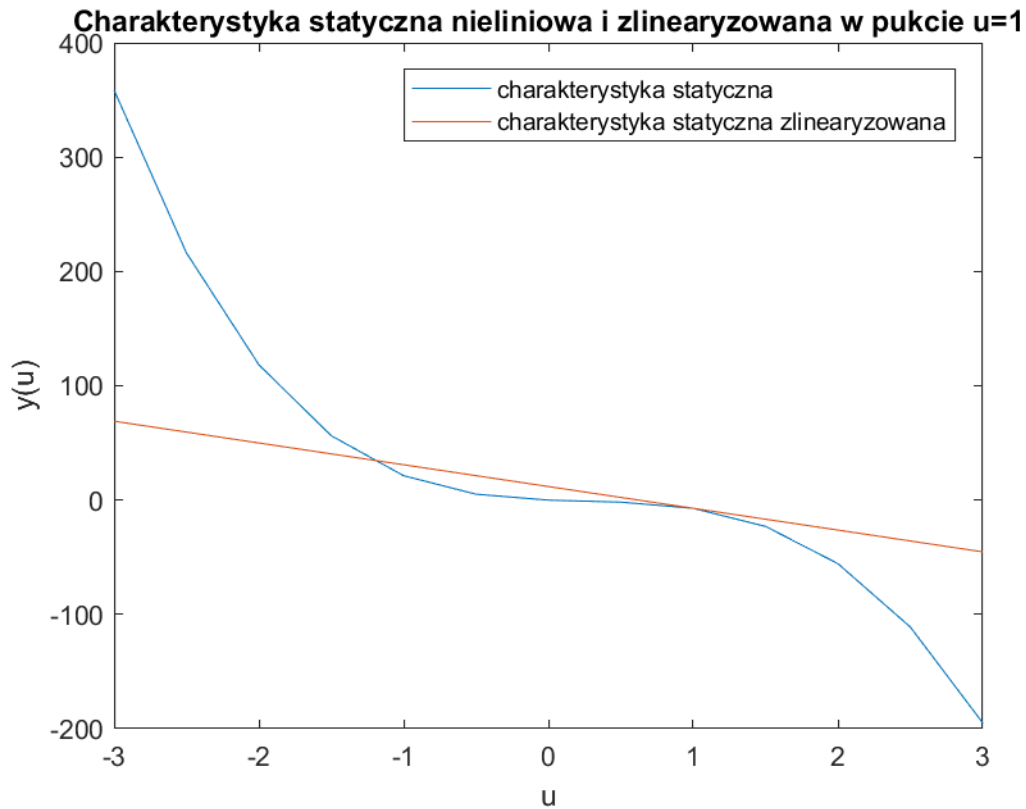
6. Charakterystyka zlinearyzowana na tle nieliniowej prezentuje się następująco:

Charakterystyka statyczna nieliniowa i zlinearyzowana w punkcie $u=-1$



Charakterystyka statyczna nieliniowa i zlinearyzowana w punkcie $u=0$





7. Aby obliczyć model dynamiczny dyskretny zlinearyzowany należy za elementy nieliniowe w modelu dynamicznym dyskretnym podstawić obliczone powyżej zlinearyzowany odpowiedniki:

$$x_1(k) = x_1(k-1) - T \left(\frac{T_1 + T_2}{T_1 T_2} x_1(k-1) + x_2(k-1) \right)$$

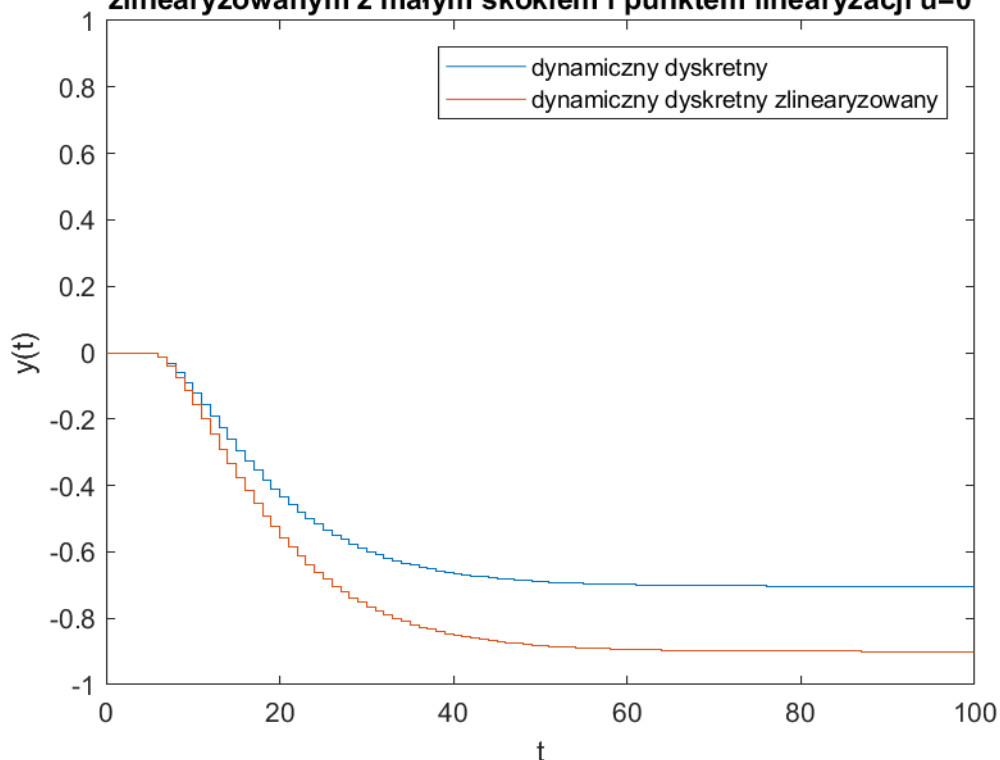
$$x_2(k) = x_2(k-1) - T \frac{1}{T_1 T_2} x_1(k-1)$$

$$+ \frac{K}{T_1 T_2} (\alpha_1 u(k-1) + \alpha_2 (\bar{u}^2 + 2\bar{u}(u(k-1) - \bar{u})) + \alpha_3 (\bar{u}^3 + 3\bar{u}^2(u(k-1) - \bar{u})) + \alpha_4 (\bar{u}^4 + 4\bar{u}^3(u(k-1) - \bar{u})))$$

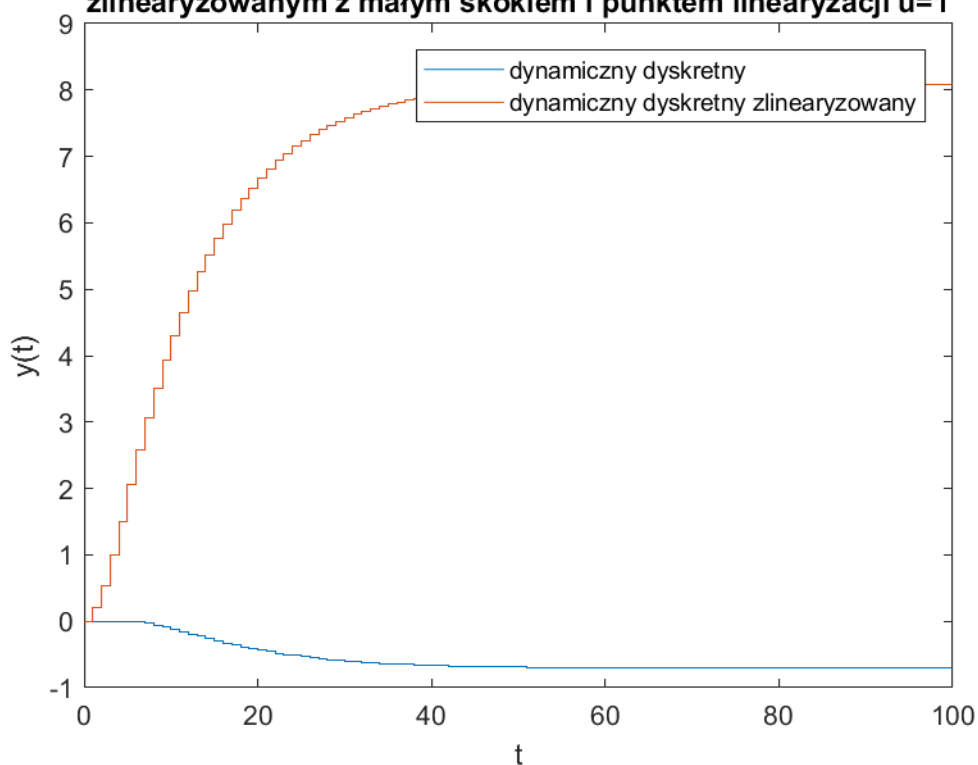
$$y(k-1) = x_1(k-1)$$

8. Reprezentacja graficzna powyższych równań jest przedstawiona w pliku: [dynamiczny dyskretny zlinearyzowany.slx](#)
9. Porównanie charakterystyki zlinearyzowanej można zauważyć tutaj. Testy były wykonywane dla skoków sygnału równych: 0.2, 1, 2 i dla punktów linearyzacji równych: -1, 0, 1, 2. Wyniki można zobaczyć poniżej, warto zauważyć, że wykonałem również test dla skoku 0.2 i pkt linearyzacji = 0.2.

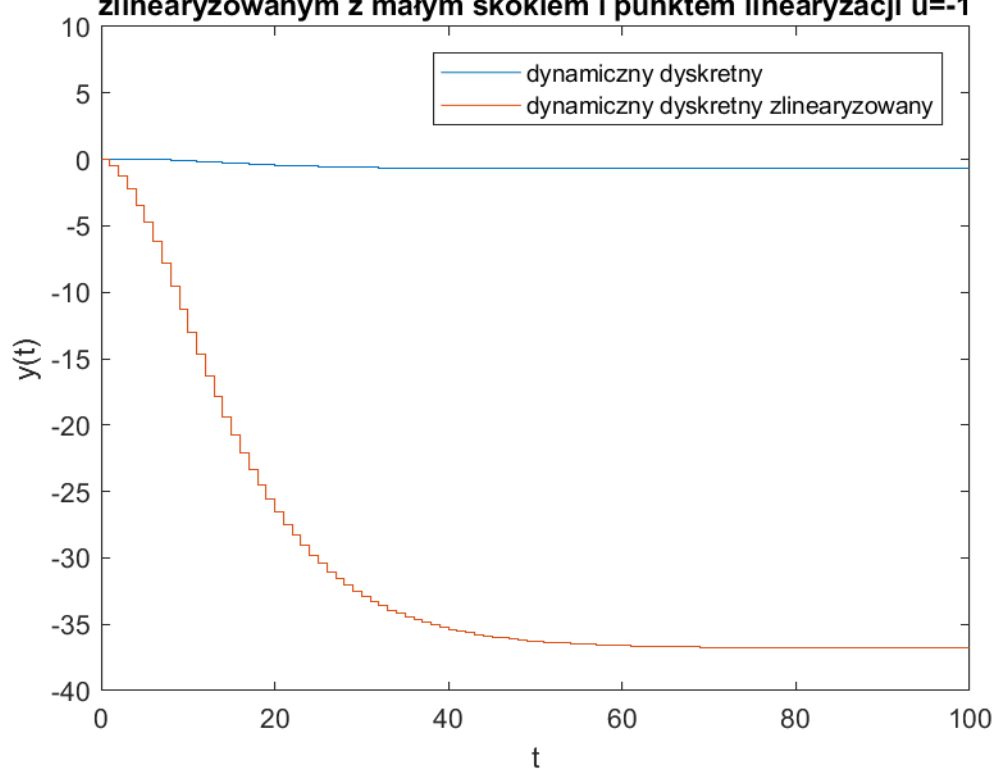
Różnice pomiędzy modelem dynamicznym dyskretnym, a dyskretnym zlinearyzowanym z małym skokiem i punktem linearyzacji $u=0$



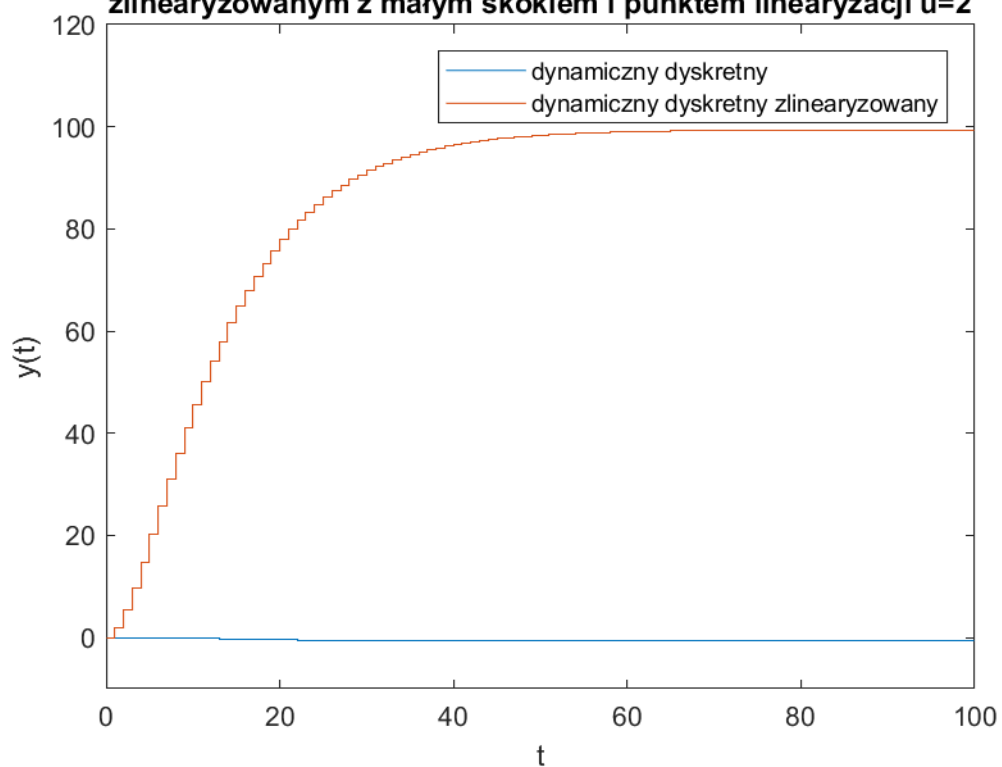
Różnice pomiędzy modelem dynamicznym dyskretnym, a dyskretnym zlinearyzowanym z małym skokiem i punktem linearyzacji $u=1$



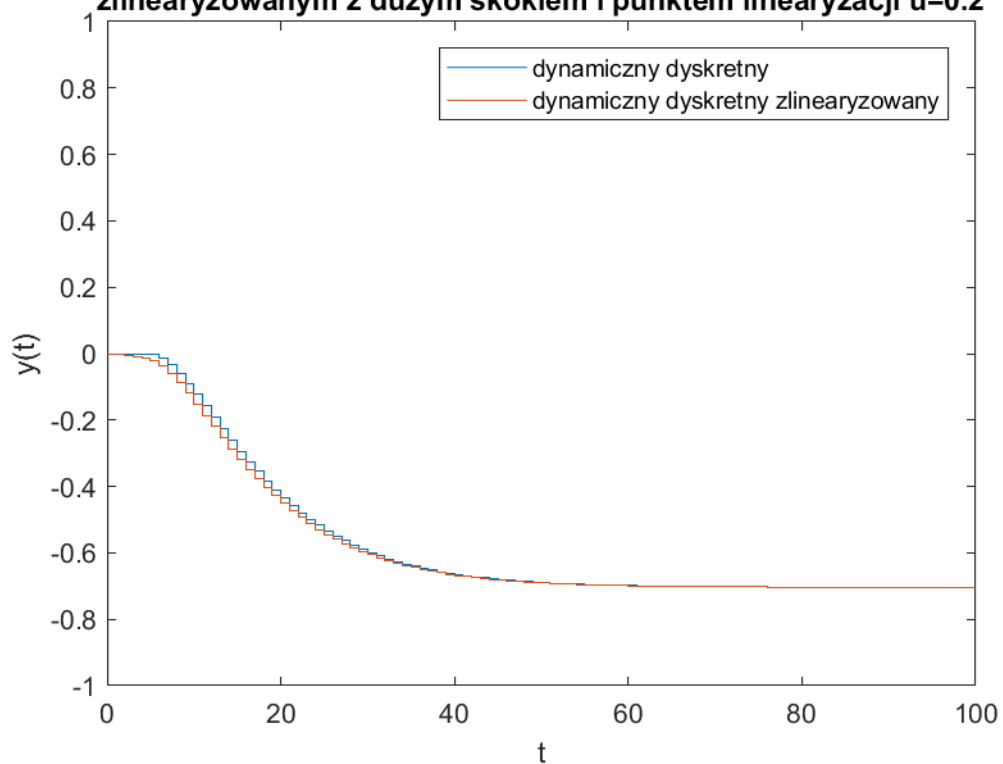
**Różnice pomiędzy modelem dynamicznym dyskretnym, a dyskretnym
zlinearyzowanym z małym skokiem i punktem linearyzacji $u=-1$**



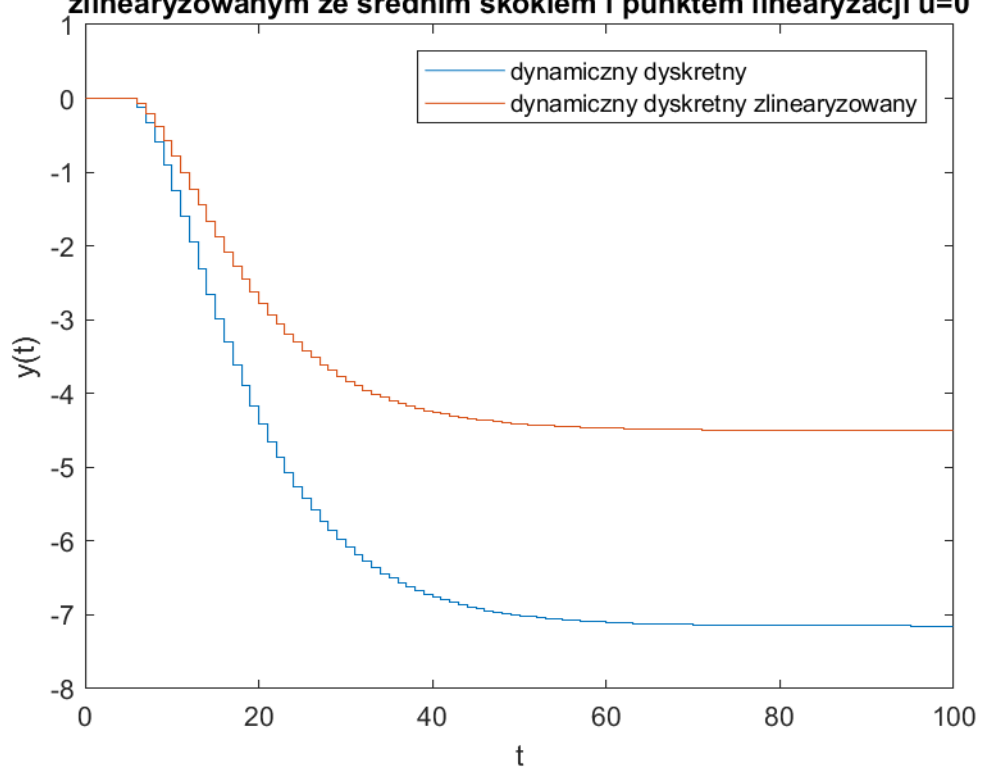
**Różnice pomiędzy modelem dynamicznym dyskretnym, a dyskretnym
zlinearyzowanym z małym skokiem i punktem linearyzacji $u=2$**



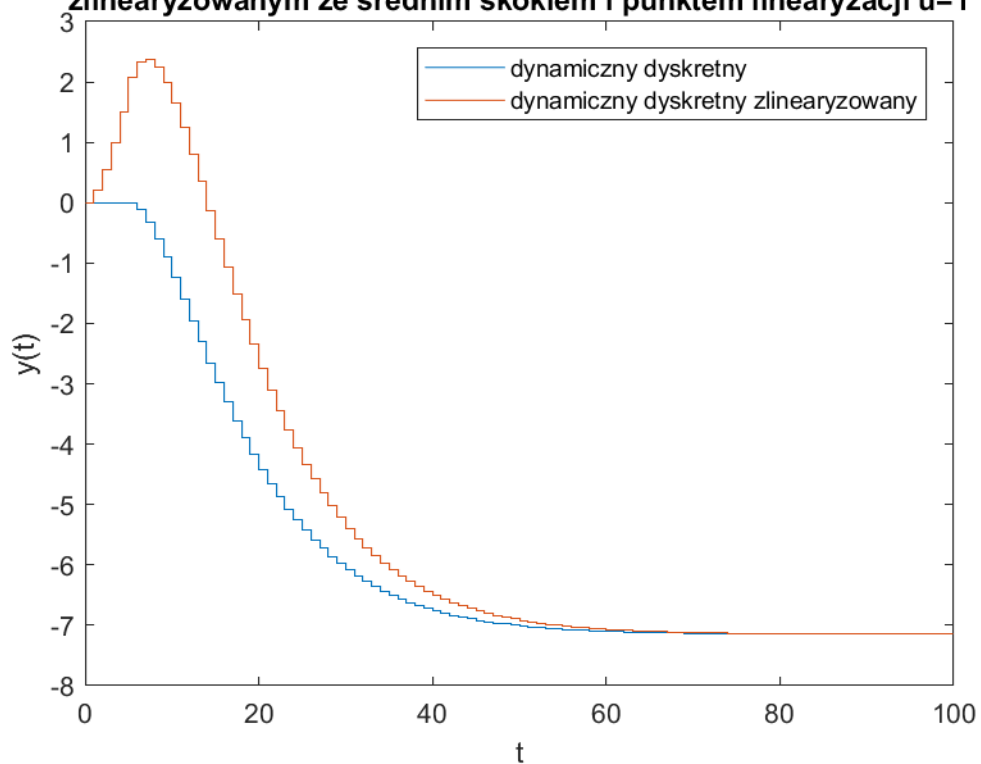
**Różnice pomiędzy modelem dynamicznym dyskretnym, a dyskretnym
zlinearyzowanym z dużym skokiem i punktem linearyzacji $u=0.2$**



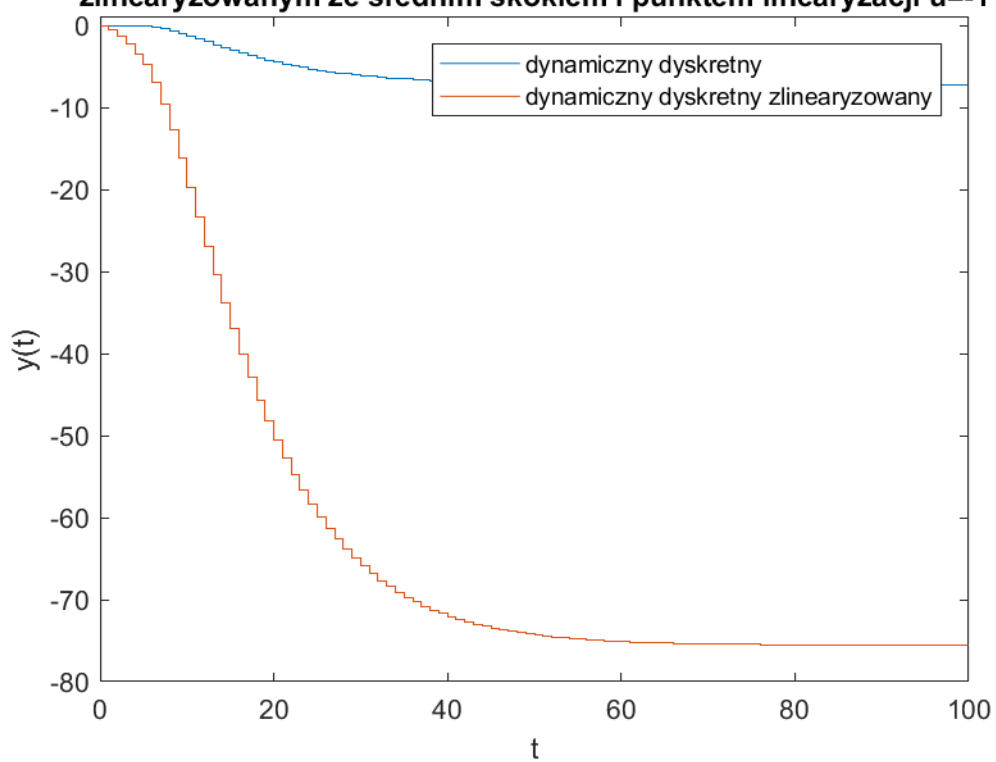
**Różnice pomiędzy modelem dynamicznym dyskretnym, a dyskretnym
zlinearyzowanym ze średnim skokiem i punktem linearyzacji $u=0$**



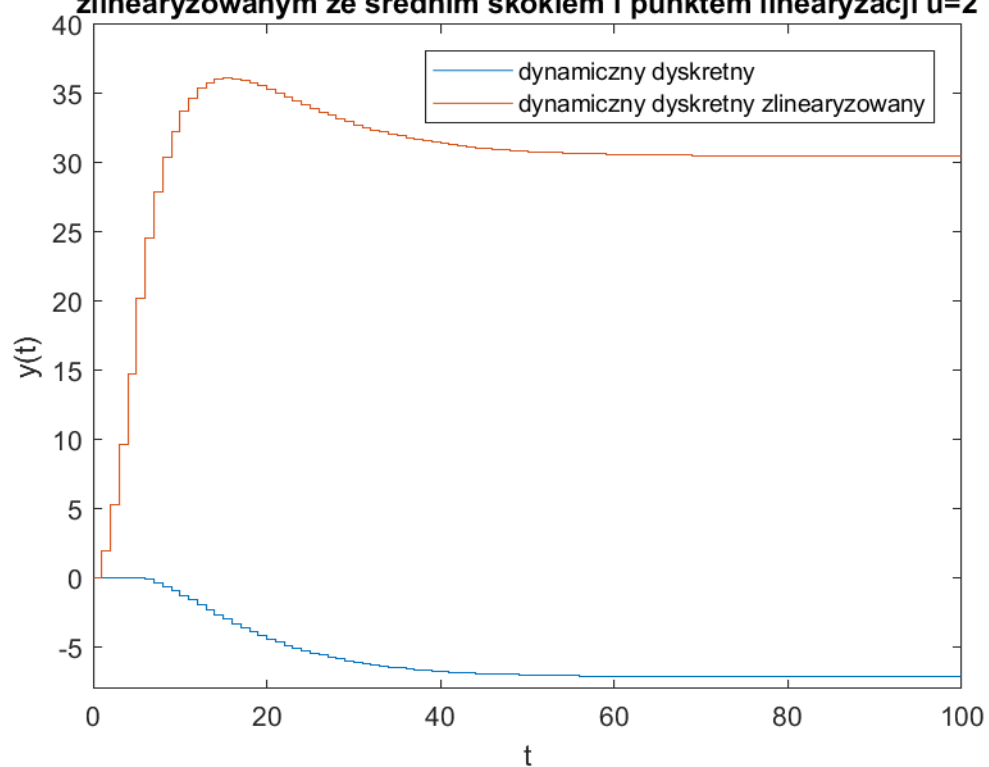
**Różnice pomiędzy modelem dynamicznym dyskretnym, a dyskretnym
zlinearyzowanym ze średnim skokiem i punktem linearyzacji $u=1$**



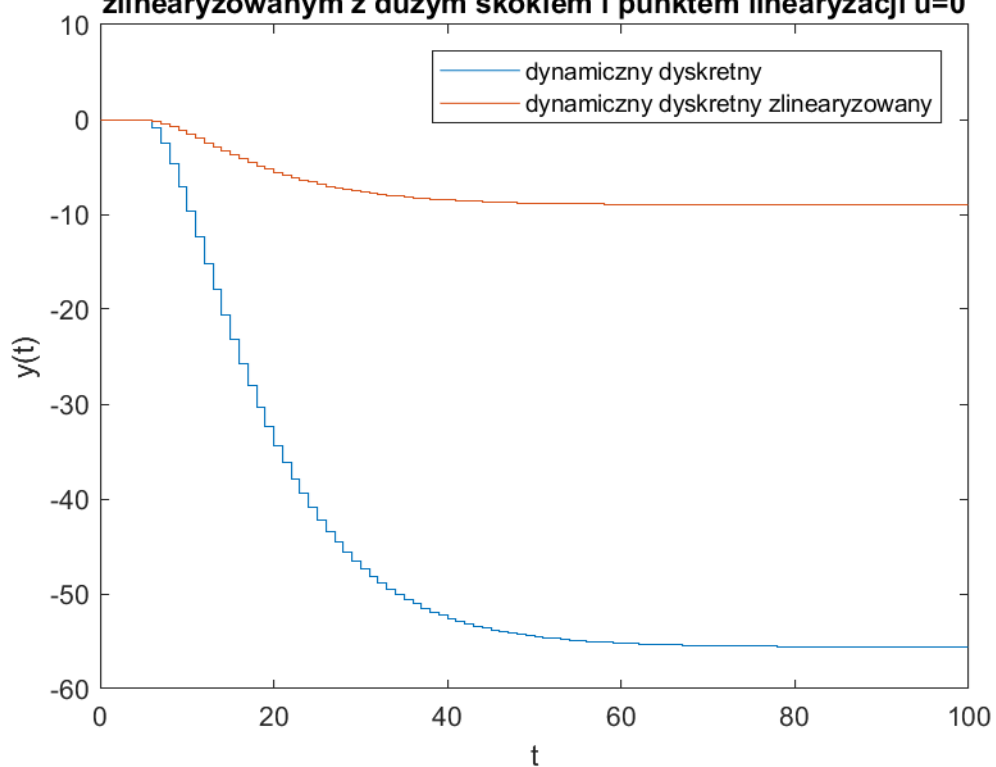
**Różnice pomiędzy modelem dynamicznym dyskretnym, a dyskretnym
zlinearyzowanym ze średnim skokiem i punktem linearyzacji $u=-1$**



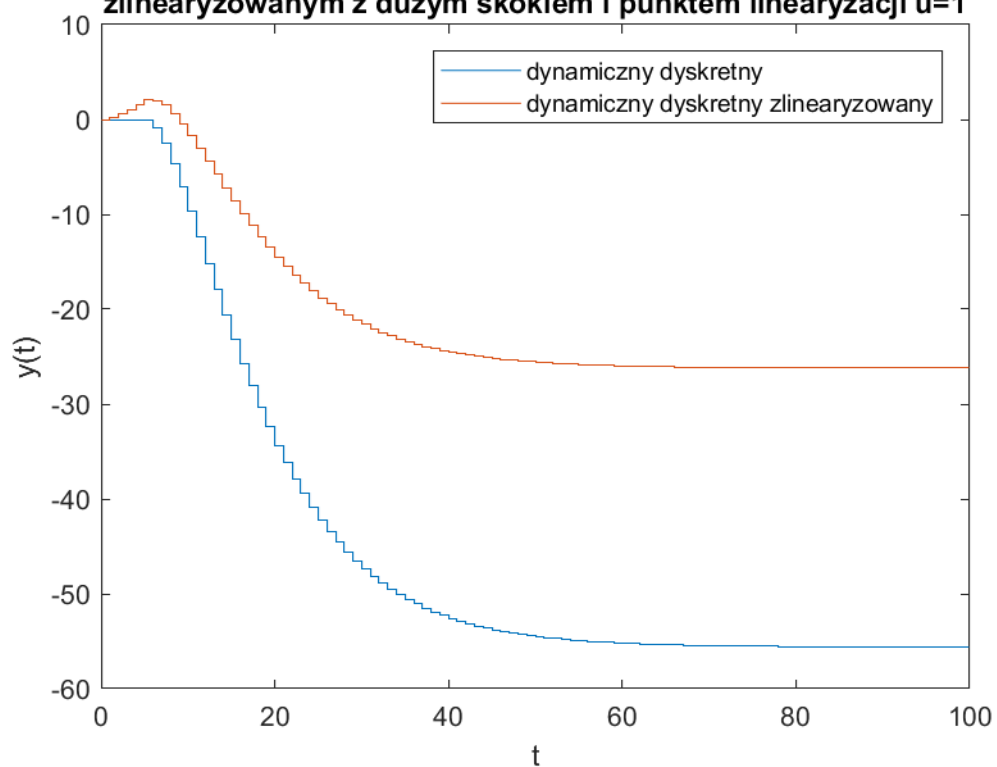
Różnice pomiędzy modelem dynamicznym dyskretnym, a dyskretnym zlinearyzowanym ze średnim skokiem i punktem linearyzacji $u=2$



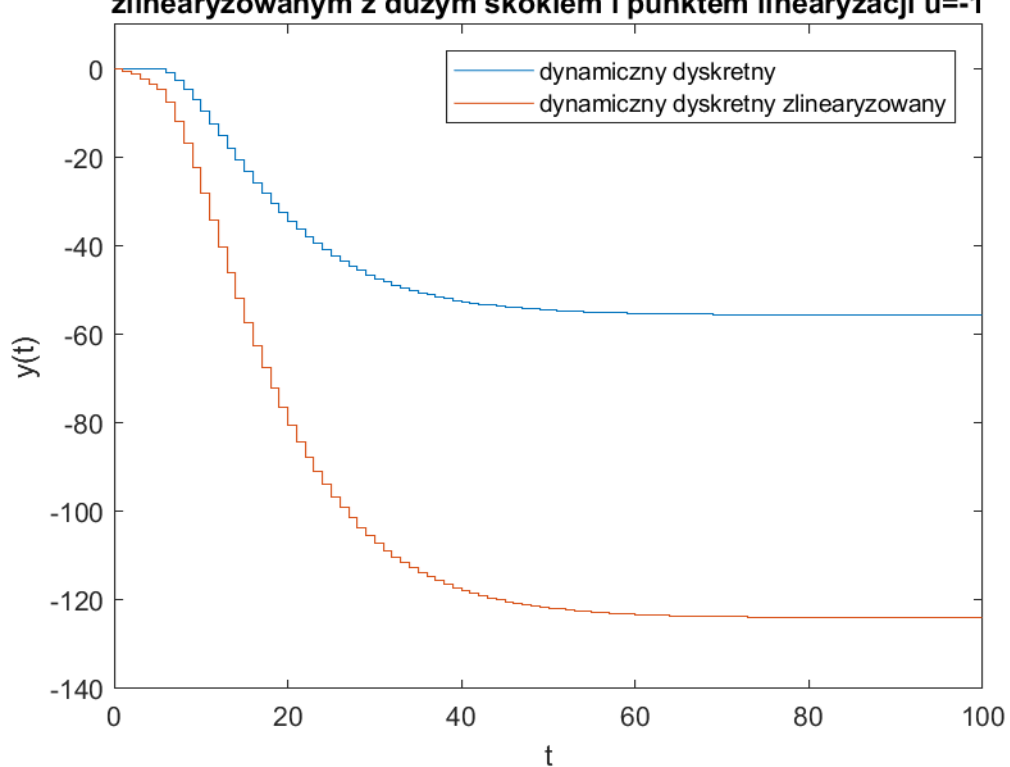
Różnice pomiędzy modelem dynamicznym dyskretnym, a dyskretnym zlinearyzowanym z dużym skokiem i punktem linearyzacji $u=0$



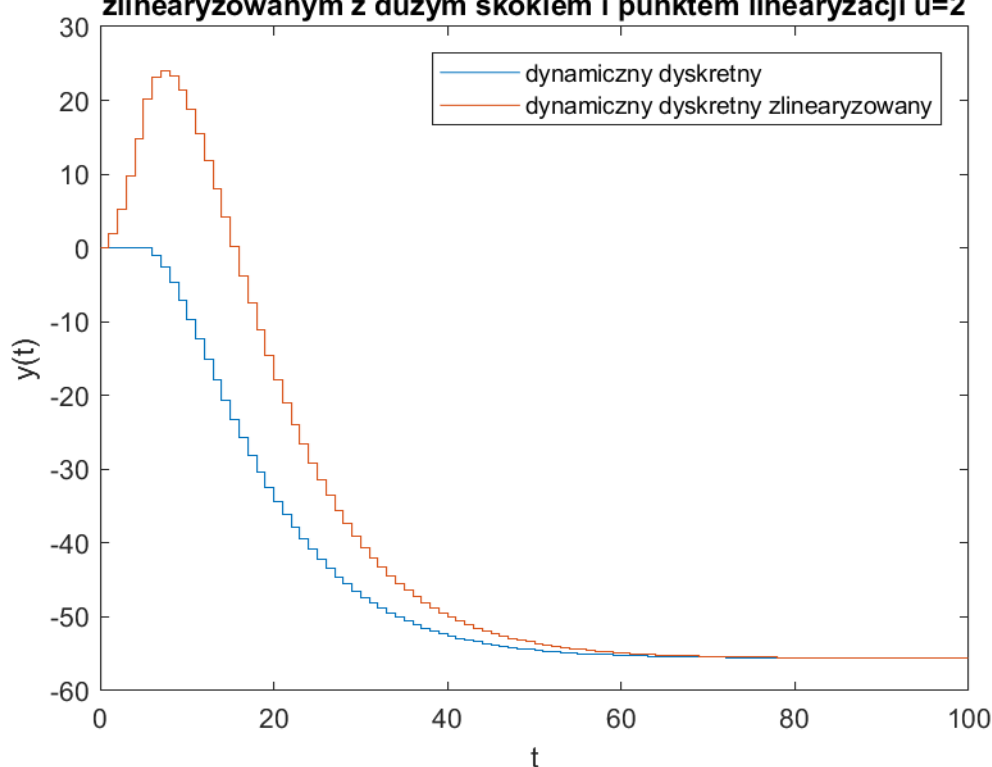
Różnice pomiędzy modelem dynamicznym dyskretnym, a dyskretnym zlinearyzowanym z dużym skokiem i punktem linearyzacji $u=1$



Różnice pomiędzy modelem dynamicznym dyskretnym, a dyskretnym zlinearyzowanym z dużym skokiem i punktem linearyzacji $u=-1$



Różnice pomiędzy modelem dynamicznym dyskretnym, a dyskretnym zlinearyzowanym z dużym skokiem i punktem linearyzacji $u=2$



10. Do obliczenia transmitancji użyłem wzoru: $G(z) = C(zI - A)^{-1}B + D$, gdzie:

$$X(k) = Ax(k-1) + Bu(k-1)$$

$$Y(k-1) = Cx(k-1) + Du(k-1)$$

Wyzerowałem również składową stałą i wyeliminowałem warunek początkowy. Otrzymałem:

$$A = \begin{bmatrix} 1 - T\left(\frac{T_1 + T_2}{T_1 T_2}\right) & 1 \\ -T\frac{1}{T_1 T_2} & 1 \end{bmatrix}, B = \begin{bmatrix} 0 \\ \frac{K}{T_1 T_2}(\alpha_1 + \alpha_2 2\bar{u} + \alpha_3 3\bar{u}^2 + \alpha_4 4\bar{u}^3) \end{bmatrix}, C = [1 \quad 0], D = [0]$$

$$G(z) = \frac{1}{(z-1)\left(z-1 + T\frac{T_1 + T_2}{T_1 T_2}\right) + \frac{T}{T_1 T_2}} \left(-\frac{T}{T_1 T_2} * \frac{K}{T_1 T_2}(\alpha_1 + \alpha_2 2\bar{u} + \alpha_3 3\bar{u}^2 + \alpha_4 4\bar{u}^3) \right)$$

11. Wzmocnienie statyczne wyznaczyłem obliczając: $K_{stat} = \lim_{z \rightarrow 1} G(z)$. Otrzymałem:

$$K_{stat} = -\frac{K}{T_1 T_2}(\alpha_1 + \alpha_2 2\bar{u} + \alpha_3 3\bar{u}^2 + \alpha_4 4\bar{u}^3). \text{ Co finalnie wygląda tak:}$$

